

УДК 535.241.13 : 534

А. С. Задорин

(Томск)

МОДУЛЯЦИЯ СВЕТА
ПРЕРЫВИСТЫМИ АКУСТИЧЕСКИМИ СИГНАЛАМИ

Предложена математическая модель динамической оптической передаточной функции (ДОПФ) акустооптического модулятора (АОМ), управляемого прерывистым сигналом, т. е. сигналом с огибающей типа $\text{Rect}(t/\tau)$ и произвольной внутриимпульсной модуляцией. Установлено, что в течение короткого времени фронта ДОПФ τ' : дифракционному полю $E_1(\mathbf{r}, t)$ на выходе АОМ добавляется световой пучок с τ сдвинутой несущей частотой. Величина этого сдвига линейно увеличивается по мере отклонения от направления синхронизма. Указанный пучок формируется фронтом акустического пакета и, интерферируя с основным, изменяет динамику $E_1(\mathbf{r}, t)$. Приведены расчетные графики, показывающие, что при управляющем сигнале прямоугольной формы интерференционный процесс проявится в асимметрии зависимости $E_1(t)$. Показано, что при длительности фронтов τ_f управляющего сигнала, значительно превышающих τ' , влиянием указанного пучка на поле $E_1(\mathbf{r}, t)$ можно пренебречь.

Использование акустооптического взаимодействия (АОВ) для модуляции света звуком основано, как известно, на зависимости амплитуды дифракционного поля от направления, частоты, мощности и других параметров акустической волны, динамически перестраиваемых сигналом $U(t)$ [1]. При этом быстродействие и другие показатели акустооптических модуляторов (АОМ) определяются скоростью переходных процессов (ПП) формирования дифракционного поля $E_1(\mathbf{r}, t)$ на выходе АОМ. В связи с необходимостью оптимизации динамических показателей АОМ важное значение приобретает разработка математической модели процесса АОВ в поле пакета ультразвукового излучения $U(\mathbf{r}, t)$. Такая модель должна основываться на решении соответствующей дифракционной задачи, для которой пакет $U(\mathbf{r}, t)$ является подвижным рассеивающим объемом. В этой задаче граничные условия для $E_1(\mathbf{r}, t)$ фиксируются на двух смежных границах пакета, что указывает на принципиально двумерный характер решения $E_1(\mathbf{r}, t)$. Тем не менее для расчета $E_1(\mathbf{r}, t)$, как правило, используются одномерные решения, полученные в приближении «замытых» поперечных границ пакета [1–3]. Указанное обстоятельство ограничивает применимость данной модели узкополосными сигналами, не позволяя анализировать динамику $E_1(\mathbf{r}, t)$ в поле широко используемых на практике прерывистых сигналов (ПС), т. е. сигналами $U(t)$ с огибающей типа $\text{Rect}(t/\tau)$ и произвольной внутриимпульсной

модуляцией [1]. В данной работе получено решение для $E_1(\mathbf{r}, t)$, свободное от указанного выше ограничения.

Прежде всего заметим, что световое поле $E_1(\mathbf{r}, t)$ на выходе изопланарного акустооптического модулятора в общем случае связано с полем $E_0(\mathbf{r}, t)$ на входе соотношением [4]

$$E_1(\mathbf{r}, t) = \int_{S-\infty}^t \int E_0(\mathbf{r}', t') h(\mathbf{r} - \mathbf{r}', t - t') d\mathbf{r}' dt',$$

где \mathbf{r}, \mathbf{r}' – пространственные координаты в пределах апертуры пучков; $h(\mathbf{r}, t)$ – функция Грина, определяющая напряженность электрического поля на выходном зрачке АОМ, создаваемую δ -импульсом точечного источника на входе. Если $E_0(\mathbf{r})$ не зависит от времени, то последнее соотношение упрощается:

$$E_1(\mathbf{r}, t) = \int_S E_0(\mathbf{r}') h(\mathbf{r} - \mathbf{r}', t) d\mathbf{r}'. \quad (1)$$

Входящую сюда динамическую весовую функцию

$$h(\mathbf{r} - \mathbf{r}', t) = \int_0^t h(\mathbf{r} - \mathbf{r}', t - t') dt' \quad (2)$$

будем называть динамической функцией рассеяния (ДФР) [4]. Согласно (1), (2), ДФР зависит от параметров акустического пучка, закона модуляции и полностью определяет свойства АОМ. Применив к (1) преобразование Фурье по пространственным и временным координатам и выразив спектры пространственных частот опорного и дифрагированного пучков через соответствующие угловые спектры $E_0(\theta_0)$ и $E_1(\theta_1, f)$, получим

$$E_1(\theta_1, f) = E_0(\theta_0) H_f(\delta K), \quad (3)$$

где θ_α – угол между волновым вектором \mathbf{k}_α плоской волны из спектра пучка и его осью \mathbf{N}_α ($\alpha = 0, 1$); $H_f(\delta K)$ – временной спектр динамической оптической передаточной функции (ДОПФ) $H(\delta K)$ системы; δK – аргумент H_f , связанный с частотой f и углом θ_0 . Углы θ_0 и θ_1 также зависят друг от друга и частоты f . При малых вариациях f и θ_0 эти зависимости можно аппроксимировать линейными членами ряда Тейлора:

$$\theta_1 = Af + B\theta_0, \quad (4)$$

$$\delta K = Cf + D\theta_0, \quad (5)$$

где A, B, C, D – коэффициенты, определяемые свойствами среды взаимодействия и геометрией АОМ. Из (3)–(5) следует, что переходные процессы в

поле дифрагированной волны дальней зоны формально определяются соотношением

$$E_1(\theta_1, t) = \mathcal{F}^{-1} \left\{ E_0 \left(\theta_0 = \frac{\theta_1}{B} - \frac{A}{B} f \right) H_f \left(\delta K = \left(C - \frac{AD}{B} \right) f + \frac{D}{B} \theta_1 \right) \right\}, \quad (6)$$

где оператором $\mathcal{F}^{-1}\{\dots\}$ обозначено обратное преобразование Фурье по времени. Выражение (6) сводит задачу расчета поля $E_1(\theta_1, t)$ к отысканию ДОПФ $H(t, \delta K)$ системы и коэффициентов A, B, C и D . Для определения указанных параметров рассмотрим следующую модель. В безграничной однородной немагнитной кристаллической среде без потерь в направлении лучевой нормали \mathbf{q}_e со скоростью V распространяющийся ПС $U(\mathbf{r}, t)$ возмущает диэлектрическую проницаемость среды ϵ как $\epsilon = \epsilon_0 + \Delta\epsilon U_m(\mathbf{r}, t)$. Здесь $U_m(\mathbf{r}, t)$ – распределение комплексной амплитуды пакета. В области, освещаемой монохроматическим пучком света $E_0(\mathbf{r}, t)$, это возмущение приведет к модуляции самого пучка $E_0(\mathbf{r}, t)$ и в режиме брэгговского АОВ к связи $E_0(\mathbf{r}, t)$ с дифрагированным пучком $E_1(\mathbf{r}, t)$. Представим поля $E_0(\mathbf{r}, t)$, $E_1(\mathbf{r}, t)$, $U_m(\mathbf{r}, t)$ соответствующими частотно-угловыми спектрами $E_0(\omega, \mathbf{k}_0)$, $E_1(\omega, \mathbf{k}_1)$ и $U_m(\Omega, \mathbf{K})$, полагая при этом, что последняя зависимость разделяется по переменным Ω и \mathbf{K} , т. е. $U_m(\Omega, \mathbf{K}) = F(\Omega)S_m(\mathbf{K})$. Здесь $F(\Omega)$ и $S_m(\mathbf{K})$ – частотный и угловой спектры ультразвукового пакета. Для распределений $E_0(\omega, \mathbf{k}_0)$, $E_1(\omega, \mathbf{k}_1)$ акустооптическая связь будет выражаться в том, что в возмущенной области амплитуды их составляющих будут являться медленно изменяющимися функциями координаты \mathbf{r} . Учитывая это обстоятельство, а также полагая, что поляризация волн постоянна в пределах $E_0(\omega, \mathbf{k}_0, \mathbf{r})$, $E_1(\omega, \mathbf{k}_1, \mathbf{r})$, подставим данные выражения в волновое уравнение для напряженностей электрических полей. В результате, приравнявая члены с равными частотами, получим систему уравнений в частных производных для $E_0(\omega, \mathbf{k}_0, \mathbf{r})$, $E_1(\omega, \mathbf{k}_1, \mathbf{r})$:

$$\begin{aligned} & i \int_{-\infty}^{+\infty} \text{grad} E_1(\omega + \Omega, \theta_1) \exp(-i\mathbf{k}_1 \mathbf{r}) d\theta_1 = \\ & = \xi_1 \int_{-\infty}^{+\infty} \int \int S_m(K) F(\Omega) E_0(\omega, \theta_0) \exp[i(\mathbf{K} - \mathbf{k}_0) \mathbf{r}] dK df d\theta_0, \end{aligned} \quad (7)$$

$$\begin{aligned} & i \int_{-\infty}^{+\infty} \text{grad} E_0(\omega - \Omega, \theta_0) \exp(-i\mathbf{k}_0 \mathbf{r}) d\theta_0 = \\ & = \xi_0 \int_{-\infty}^{+\infty} \int \int S_m(K) F(f) E_1(\omega, \theta_1) \exp[i(\mathbf{K} - \mathbf{k}_1) \mathbf{r}] dK df d\theta_0, \end{aligned} \quad (8)$$

где

$$\xi_\alpha = \frac{\omega_0^2 \epsilon_0 \mu_0 (\mathbf{e}_1 \cdot \Delta \epsilon \cdot \mathbf{e}_0)}{2(\mathbf{e}_1 \cdot B_\alpha \cdot \mathbf{e}_0)}, \quad B_\alpha = (2\Gamma \cdot \mathbf{k}_\alpha - \Gamma \mathbf{k}_\alpha - \mathbf{k}_\alpha \Gamma); \quad (9)$$

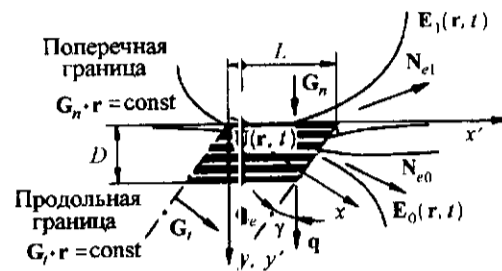


Рис. 1. Взаимная ориентация пучков при АОВ

Γ – единичный вектор, направленный вдоль $\text{grad}E_{0,1}$; e_0, e_1 – векторы поляризации опорного и дифрагированного пучков. Индекс α здесь и далее пробегает значения 0, 1. Граничные условия системы (7), (8) для точечного опорного поля и взаимной ориентации взаимодействующих пучков, соответствующей рис. 1, имеют вид:

$$E_0(x=0)=1, \quad E_1(x=0)=0, \quad (10a)$$

$$E_0(y=0)=1, \quad E_1(y=D)=0, \quad (10b)$$

где x, y – координаты, отсчитываемые соответственно вдоль нормалей G_n и G_t ; D – пространственный размер пакета в продольном направлении (см. рис. 1). Система (7), (8) приводится к обыкновенным дифференциальным уравнениям, если известна ориентация векторов $\text{grad}E_{0,1}$. Выделим два альтернативных варианта освещения пакета $U(r, t)$. В первом случае точечный пучок $E_0(r)$ проходит в возмущенную область через продольную границу пакета и порождает дифрагированный пучок, удовлетворяющий (10a), а во втором – через поперечную границу $U(r, t)$ и возбуждает поле, удовлетворяющее второму граничному условию (10b). В дальнейшем данные световые пучки будем называть соответственно t - и n -пучками, а их волновые параметры помечать индексами t и n . Векторы $\text{grad}E_{\alpha}(\omega, \theta_{\alpha})$ могут быть отличными от нуля лишь в области локализации пакета $U(r, t)$. Причем если эта область заполнена однородным монохроматическим звуковым полем, то на ее передней границе данные векторы всегда направлены по нормали [1–3]. В рассматриваемом случае границы поля $U(r, t)$ можно аппроксимировать плоскостями $G_n \cdot r = \text{const}$ и $G_t \cdot r = \text{const}$ (см. рис. 1). Тогда область взаимодействия плоских волн t -спектров $E_{\alpha t}(\omega, \theta_{\alpha})$ с частотно-угловыми составляющими акустического поля будет являться бесконечный плоский слой с нормалью G_t . Следовательно,

$$\text{grad}E_{\alpha t}(\omega, \theta_{\alpha}) = G_t \frac{dE_{\alpha t}(\omega, \theta_{\alpha})}{dx}, \quad (11)$$

где x – координата, отсчитываемая вдоль G_t . Аналогично находим направление $\text{grad}E_{\alpha n}(\omega, \theta_{\alpha})$ для плоских волн n -пучка:

$$\text{grad}E_{\alpha n}(\omega, \theta_{\alpha}) = G_n \frac{dE_{\alpha n}(\omega, \theta_{\alpha})}{dy}. \quad (12)$$

Здесь y – координата, отсчитываемая вдоль \mathbf{G}_n .

Определим дифракционный поле t -пучка в линейном режиме АОВ. Для этого подставим (11), (12) в (7) и приравняем амплитуды волн с одинаковыми пространственными зависимостями на плоскостях $\mathbf{G}_t \cdot \mathbf{r} = \text{const}$ и $\mathbf{G}_n \cdot \mathbf{r} = \text{const}$ соответственно. В результате получим

$$\frac{d}{dx} E_{1t}(\omega + 2\pi f, \theta_1) = -i\xi_1 \int_{-\infty}^{+\infty} S_m(K_\tau) F(f) E_0(\omega, \theta_0) \exp(i\Delta\mathbf{K}_t \cdot \mathbf{r}) dK_\tau df, \quad (13a)$$

$$\frac{d}{dy} E_{1n}(\omega + 2\pi f, \theta_1) = -i\xi_1 \int_{-\infty}^{+\infty} S_m(K_\tau) F(f) E_0(\omega, \theta_0) \exp(i\Delta\mathbf{K}_n \cdot \mathbf{r}) dK_\tau df, \quad (13b)$$

где $f = 2\pi\Omega$, K_τ – частота и тангенциальная компонента вектора \mathbf{K} монохроматической составляющей звуковой волны из углового спектра $S_m(\mathbf{K})$; $\Delta\mathbf{K}_{t,n}$ – вектор фазовой расстройки с модулем $\Delta K_{t,n}$, направленный вдоль векторов $\mathbf{G}_{t,n}$ (рис. 2):

$$\Delta\mathbf{K}_{t,n} = \mathbf{k}_0 - \mathbf{k}_{1t,n} + \mathbf{K} = \Delta K_{t,n} \mathbf{G}_{t,n}. \quad (14)$$

Для отыскания частотного спектра ДОПФ $H_t(f, \theta)$ необходимо положить:

$$E_0(\omega, \theta_0) = \delta(\omega - \omega_0) E_0(\theta_0),$$

где $E_0(\theta_0) = 1$ – угловой спектр δ -источника. Кроме того, следует выразить векторы $\mathbf{k}_{1t,n}$, $\Delta\mathbf{K}_{t,n}$ через переменные интегрирования f , K_τ и угол θ_1 , т. е. определить коэффициенты A, B, C, D в соотношениях (4), (5). Для t -пучка эти коэффициенты определим аналогично [3]. С этой целью годографы векторных функций $\mathbf{k}_{at,n}$ и \mathbf{K} в (14) вблизи частоты синхронизма f_0 представим формулами Френе, умножим результат векторно сначала на \mathbf{G}_t , а затем на лучевую нормаль \mathbf{N}_{1et} дифрагированного пучка. В итоге после

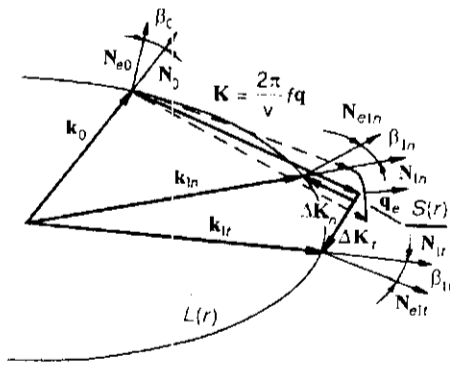


Рис. 2. Векторная диаграмма для n - и t -пучков

интегрирования по K_t получим уравнение для частотного спектра t -пучка в дальней зоне:

$$\frac{d}{dx} H_{ft}(f, \theta_1) = -i\xi_1 U(x) F(f - f_0) E_0(\theta_{0t}) \exp(i\Delta K_t(f, \theta_1)x), \quad (15)$$

где

$$\left. \begin{aligned} \theta_{0t}(f, \theta_1) &= -\frac{A_t}{B_t}(f - f_0) + \frac{1}{B_t}\theta_1, \\ \Delta K_n(f, \theta_1) &= \left(C_t - \frac{A_t D_t}{B_t} \right) (f - f_0) + \frac{D_t}{B_t} \theta_1; \end{aligned} \right\} \quad (16)$$

$$\left. \begin{aligned} A_t &= \frac{\lambda_0}{V n_1} \frac{|\mathbf{q}_e \cdot \mathbf{q}|}{|\mathbf{q}_e \times \mathbf{N}_{e1}|} \cos \beta_1, & B_t &= \left(\frac{\cos \beta_1}{\cos \beta_0} \right) \frac{|\mathbf{q} \times \mathbf{N}_{e1}| \cdot n_0}{|\mathbf{q}_e \times \mathbf{N}_{e1}| \cdot n_1}, \\ C_t &= -\frac{2\pi}{V} \frac{|\mathbf{q}_e \cdot \mathbf{N}_{e1}|}{|\mathbf{q}_e \times \mathbf{N}_{e1}|}, & D_t &= \frac{2\pi n_0}{\lambda_0 \cos \beta_0} \frac{|\mathbf{N}_{e1} \times \mathbf{N}_{e0}|}{|\mathbf{q}_e \times \mathbf{N}_{e1}|}; \end{aligned} \right\} \quad (17)$$

$U_t(x)$ – распределение амплитуды звукового пучка вдоль нормали \mathbf{G}_t . Интегрируя (15) по x от 0 до $L \times \cos \gamma$, с учетом (10а) определим спектр ДОПФ t -пучка:

$$H_{ft}(f, \theta_1) = -i\xi_1 F(f - f_0) S_m(\Delta K_t(f, \theta_1)) \exp\left[i\Delta K_t(f, \theta_1) \frac{L}{2} \right]. \quad (18)$$

Применив далее к (18) обратное преобразование Фурье по времени, получим $H_t(t, \theta_1) = \mathcal{F}^{-1}\{H_{ft}(f, \theta_1)\}$. Поле n -пучка определим в сопровождающей пакет $\mathbf{U}(\mathbf{r}, t)$ системе координат x', y' , связанной с лабораторной системой x, y -преобразованием:

$$\left. \begin{aligned} y' &= y - Vt, \\ t' &= t, \end{aligned} \right\}$$

где y – координата, отсчитываемая вдоль \mathbf{q}^0 . Точку $y' = 0$ совместим с задней границей пакета (см. рис. 1). В подвижных координатах процесс дифракции n -пучка в принципиальном плане полностью совпадает с рассмотренным выше процессом АОВ t -пучка. Различия здесь связаны с изменением ориентации граничной плоскости и соответствующим поворотом вектора $\text{grad} E_n(\omega, \theta_\alpha)$, а также с увеличением скорости V_t перемещения опорного пучка по данной плоскости в $\zeta = |\mathbf{q} \times \mathbf{N}_q| / (\mathbf{q} \cdot \mathbf{N}_0)$ раз ($V_t = \zeta V$). Если (14) подставить в (13б) и выполнить преобразования, использованные при выводе (15), то указанные выше различия формально проявятся как

$$\frac{d}{dy'} H_{fn}(f, \theta_1) = -i\xi_1 U(y) S_m\left(\frac{2\pi f}{V_t}\right) E_0(\theta_{0n}) \exp(i\Delta K_n(f, \theta_1)y'), \quad (19)$$

$$\left. \begin{aligned} \theta_{0n}(f, \theta_1) &= -\frac{A_n}{\zeta f^0 B_n} f + \frac{1}{B_n} \theta_1, \\ \Delta K_n(f, \theta_1) &= \frac{1}{\zeta f^0} \left(C_n - \frac{A_n D_n}{B_n} \right) f + \frac{D_n}{B_n} \theta_1; \end{aligned} \right\} \quad (20)$$

где

$$\left. \begin{aligned} A_n &= \frac{\cos \beta_1}{\mathbf{q} \cdot \mathbf{N}_{e1}} \frac{f_0 \lambda_0}{V n_1}, & B_n &= \left(\frac{\cos \beta_1}{\cos \beta_0} \right) \frac{(\mathbf{q} \cdot \mathbf{N}_{e0}) n_0}{(\mathbf{q} \cdot \mathbf{N}_{e1}) n_1}, \\ C_n &= \frac{2\pi}{V \cos \gamma} \frac{|\mathbf{q}_e \times \mathbf{N}_{e1}|}{\mathbf{q}_0 \cdot \mathbf{N}_{e1}}, & D_n &= -\frac{2\pi n_0}{\lambda_0 \cos \beta_0} \frac{|\mathbf{N}_{e1} \times \mathbf{N}_{e0}|}{(\mathbf{q} \cdot \mathbf{N}_{e1})}; \end{aligned} \right\} \quad (21)$$

$U_i(y)$ – огибающая звукового пакета. Интегрируя (19) по y' от 0 до D с учетом (10б) и переходя к исходной системе координат, находим

$$H_n(t, \theta_1) = \mathcal{F}^{-1} \{ H_{fn}(f, \theta_1) \},$$

где

$$H_{fn}(f, \theta_1) = -i \xi_1 S_m \left(\frac{2\pi f}{\zeta V} \right) F \left(\frac{V \Delta K_n(f, \theta_1)}{2\pi} \right) \exp \left(\Delta K_n(f, \theta_1) \frac{D}{2} \right). \quad (22)$$

Выражение для результирующей ДОПФ $H(t, \theta)$ формируется из найденных выше решений $H_i(t, \theta)$ и $H_n(t, \theta)$. Если обозначить через t' момент перехода точечного опорного пучка линии пересечения смежных граничных плоскостей пакета $\mathbf{U}(\mathbf{r}, t)$, то

$$H(t, \theta_1) = \begin{cases} H_i(t, \theta_1), & t < t', \\ H_n(t, \theta_1), & t > t'. \end{cases} \quad (23)$$

Последние соотношения вместе с формулами (6), (17) и определяют искомую динамику углового распределения поля дифрагированного пучка в дальней зоне. Согласно (23), основной особенностью модуляции света акустическими ПС является сложный характер дифракционного поля, складывающегося из n - и t -световых пучков. Первый из них формируется одним из фронтов пакета $\mathbf{U}(\mathbf{r}, t)$ и обычно не учитывается в расчетах, так как считается, что [1–3]

$$H(t, \theta_1) = H_i(t, \theta_1). \quad (24)$$

В соответствии с (22) такое предположение оправдано, если

$$H_i(t, \theta_1) = H_n(t, \theta_1). \quad (25)$$

Рассмотрим условия, при которых выполняются (24), (25). Для этого, воспользовавшись заменой переменных

$$f' = \frac{V \Delta K_n(f, \theta_1)}{2\pi} = \frac{V}{2\pi f^0 \zeta} \left(C_n - \frac{A_n D_n}{B_n} \right) f + \frac{V D_n}{2\pi B_n} \theta_1,$$

а также формулами (16), (17), (20), (21), приведем соотношения (18), (22) к виду:

$$\left. \begin{aligned} H_{f_t}(f', \theta_1) &= -i \xi_1 S_m(A'f - B'\theta_1) F(f) \exp\left(\frac{(A'f - B'\theta_1)L}{2}\right), \\ H_{f_n}(f', \theta_1) &= -i \xi_1 S_m(A'f' + B'\theta_1) F(f') \exp\left(\frac{\pi D}{V} f'\right), \end{aligned} \right\} \quad (26)$$

где

$$A' = \frac{2\pi(\mathbf{q} \cdot \mathbf{N}_{e0}) \cos \gamma}{V |\mathbf{q}_e \times \mathbf{N}_{e0}|}; \quad B' = \frac{|\mathbf{N}_{e0} \times \mathbf{N}_{e0}| \cdot |\mathbf{k}_1^*| \cos \gamma}{|\mathbf{q}_e \times \mathbf{N}_{e0}| \cos \beta_1}. \quad (27)$$

Линейные по частоте слагаемые экспоненциальных множителей данных соотношений определяют временные задержки соответствующих световых сигналов. Принцип причинности, ограничивающий эти задержки, требует равенства указанных слагаемых. В таком случае различие между ДОПФ пучков оказывается связанным со знаками сомножителей при переменной θ зависимости $\bar{S}_m(\bar{r}, \bar{\theta}_1)$, определяющей частотную и угловую селективности данных функций. При этом рассматриваемый член описывает смещение $\pm \delta f$ спектров $H_{f_t}(f, \theta_1)$, $H_{f_n}(f, \theta_1)$ относительно частоты синхронизма и линейные фазовые множители $\exp(\pm i \delta f t)$ соответствующих ДОПФ при увеличении угла дифракции. В физическом плане указанные множители выражают вариацию доплеровской частоты дифрагированного пучка по его угловому спектру. Ясно, что увеличение частоты может происходить лишь в период формирования переднего фронта ДОПФ, когда пакет $\mathbf{U}(\mathbf{r}, t)$ приближается к опорному пучку $\mathbf{E}_0(\mathbf{r})$. Во время формирования заднего фронта при $t > t'$ рассеивающий объем удаляется от светового пучка, поэтому и доплеровская добавка должна иметь отрицательный знак. В соответствии с (23) момент времени t' как раз и разделяет области t - и n -пучков. Таким образом, изложенная модель может служить физической интерпретацией соотношения (23) для результирующей ДОПФ и указанных выше различий в спектрах $H_{f_t}(f, \theta_1)$, $H_{f_n}(f, \theta_1)$. Связь между этими спектрами, согласно (26), (27), имеет вид:

$$H_{f_n}(f, \theta_1) = H_{f_t}(f, \theta_1, -D_t) \exp\left(-\frac{D_t L}{2B_t} \theta\right), \quad (28)$$

где $H_{f_t}(f, \theta_1, -D_t)$ – спектр t -пучка, рассчитанный при отрицательном угловом коэффициенте D_t . Полученное выражение позволяет значительно

упростить расчет ДОПФ, избежав прямого вычисления ДОПФ $H_n(f, \theta_1)$ по формуле (22) и связанных с ней коэффициентов (21). Возможность замены соотношения (22) формулой (28) подтвердилась и в ходе проведенных нами расчетов динамики $E_1(t, \theta)$. Теперь, подставляя (28) в (23), видим, что упрощенная формула (24) полностью совпадает с (23) при $\theta_1 = 0$. В соответствии с (26), (27) не будет различий в амплитудном профиле ДПФ t - и n -пучков и при точечном опорном поле $E_0(\mathbf{r})$, когда пучки не перекрываются во времени и не могут интерферировать. При других значениях угла θ_1 и апертуры опорного поля d' эти пучки в течение $\tau' \approx d'/V$ накладываются друг на друга. В пределах данного промежутка амплитуды составляющих углового спектра $E_1(t, \theta_1)$ являются результатом интерференции двух смещенных по частоте пучков и могут значительно отличаться от амплитуды каждого из них. Наибольших проявлений данного эффекта следует ожидать при равных апертурах пучков. Максимальная апертура n -пучка d' пропорциональна длительности фронта ДОПФ при ПС прямоугольной формы, т. е. $d'_n \approx L(\mathbf{q} \cdot \mathbf{N}_0)$, поэтому общая апертура $E_0(\mathbf{r})$, отвечающая наиболее контрастной интерференционной картине, оказывается равной $d' \approx 2d'_n$. Если при этом длительность пакета τ превысит величину d'/V , то наложение t - и n -пучков окажется возможным лишь в течение одного из фронтов $E_1(t, \theta_1)$, а факт интерференции пучков наглядно проявится в асимметрии отклика $E_1(t, \theta_1)$ на управляющий сигнал $U(t)$ с прямоугольной огибающей. В литературе описаны экспериментальные наблюдения данного эффекта во всех режимах дифракции, однако соответствующая математическая модель предложена лишь для сильного АОВ [1, 2]. Полученные выше формулы (18), (22), (23) позволяют легко моделировать асимметричный отклик $E_1(t, \theta_1)$ и в режиме слабого АОВ. Некоторые из соответствующих расчетных результатов представлены на рис. 3 и 4. Здесь в процентном выражении даны значения $I_1(t, \theta_1)/I_0$ относительной интенсивности дифракции светового пучка $\lambda = 0,63$ мкм в АОМ со звукопроводом из кристалла LiNbO_3 X-среза, возбуждаемым продольным акустическим пакетом с прямоугольной огибающей мощностью 1 Вт и несущей частотой 500 МГц. Апертуры опорного и акустического пучков были выбраны равными $d = 0,02$ мм и $2 \times 0,3$ мм соответственно. Значения угла θ_1 на рисунках даны в долях λ/d . Длительность сигнала τ на рис. 3, 4 равна 3 и 15 нс соответственно.

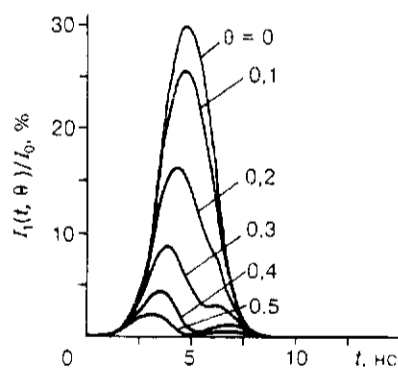


Рис. 3. Отклик $I_1(t, \theta)/I_0$ в LiNbO_3 при $d = d'$

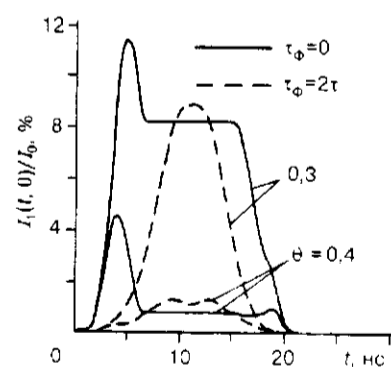


Рис. 4. Зависимость формы отклика от τ_ϕ

Определим пределы применимости описанной модели. Для этого заметим, что любой реальный сигнал $U(t)$ всегда ограничен некоторым промежутком времени τ , т. е. является финитным. В таком случае $U(t) = U(t) \text{rect}(t/\tau)$, следовательно, $U(t)$ можно рассматривать как ПС с некоторой внутриимпульсной модуляцией, а его воздействие на световое поле может быть описано с помощью приведенных выше формул. Внутриимпульсная модуляция при этом может значительно сгладить фронты сигнала $U(t)$ и снизить таким образом уровень n -пучка в общем дифракционном поле. С этой точки зрения можно сделать вывод о том, что при длительности фронтов τ_ϕ , значительно превышающих время существования n -пучка: $\tau' \approx d_n/V$, его влиянием на форму $I_1(t, \theta_1)$ можно пренебречь и расчет отклика следует проводить по упрощенной формуле (24). Этот вывод подтверждается и расчетными данными рис. 4, на котором представлены динамические зависимости $I_1(t, \theta_1)$ для идеально прямоугольного сигнала и сигнала с $\tau_\phi = 2\tau'$. Как видим, обсуждавшийся выше эффект асимметрии кривых $I_1(t, \theta_1)$ практически не обнаруживается уже при $\tau_\phi = 2\tau'$. Из приведенных на рис. 3, 4 данных следует, что условия экспериментального наблюдения n -пучка $d \approx 2L(\mathbf{q} \cdot \mathbf{N}_0)$ достаточно сложно реализовать на практике ввиду необходимости достижения высокого качества управляющего сигнала и малого размера апертуры опорного пучка.

СПИСОК ЛИТЕРАТУРЫ

1. Балахший В. И., Парыгин В. Н., Чирков Л. Е. Физические основы акустооптики. М.: Радио и связь, 1985.
2. Parugin V. N. Anisotropic Bragg diffraction of light on travelling acoustic impulse // Acoustoopt. Research. and Developments. Leningrad, 1990. P. 122.
3. Задорин А. С., Шарангович С. Н. Особенности модуляции света звуком в оптически активной среде // Автометрия. 1989. № 5. С. 10.
4. Смоктий О. И., Фабриков В. А. Методы теории систем и преобразований в оптике. Л.: Наука, 1989.

Поступила в редакцию 19 июня 1997 г.